

## SSLA103 - Calcul du retrait de dessiccation et du retrait endogène sur un cylindre

---

### Résumé :

Ce cas-test a pour but de valider le calcul du retrait de dessiccation et du retrait endogène. Il teste également la possibilité de faire dépendre les caractéristiques matériaux de l'hydratation et du séchage (dans le cas du modèle de Mazars). Il s'agit d'un cylindre qui subit un séchage et une hydratation uniforme. La température varie également.

Le cylindre est modélisé par quatre éléments quadrangles à 8 nœuds pour les modélisations *A*, *C*, *E* et *F* et par un élément HEXA20 pour la modélisation *B*. Pour les modélisations *A* et *B*, le comportement est supposé élastique, ce qui permet de valider le calcul de retrait à la fois avec STAT\_NON\_LINE et avec MECA\_STATIQUE. La modélisation *C* permet de valider le calcul de retrait avec la loi de MAZARS (sans activation de l'endommagement). La modélisation *E* valide le calcul de retrait avec la loi ENDO\_ISOT\_BETON (avec méthode de NEWTON et méthode IMPLEX) et la modélisation *F* le couplage ENDO\_ISOT\_BETON / BETON\_UMLV\_FP

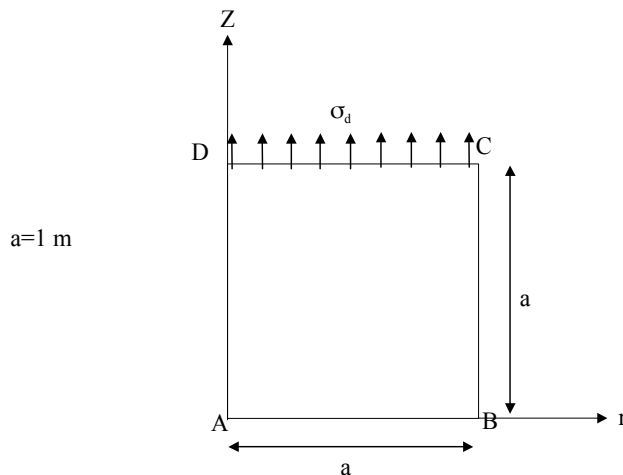
Les résultats obtenus par code\_aster sont identiques à la solution analytique de référence.

## 1 Problème de référence

---

### 1.1 Géométrie

Éprouvette cylindrique.



### 1.2 Propriétés de matériaux

Pour les modélisations  $A$  et  $B$ , le matériau est supposé élastique et les caractéristiques matériaux sont constantes pour pouvoir valider le calcul avec `MECA_STATIQUE`,

Pour la modélisation  $C$ , on utilise la loi de `MAZARS` et certains paramètres dépendent de l'hydratation et du séchage.

La modélisation  $E$  permet de tester la loi `ENDO_ISOT_BETON`, avec méthode de `NEWTON` et `IMPLEX`, et la modélisation  $F$  le couplage `ENDO_ISOT_BETON / BETON_UMLV_FP`, sachant que les paramètres matériaux de la loi `BETON_UMLV_FP` sont choisis de telle sorte qu'on n'ait pas de fluage et donc qu'on retrouve le comportement de la loi `ENDO_ISOT_BETON`. Dans les deux cas, les caractéristiques matériaux sont constantes.

Signalons qu'étant donné le chargement (dilatation, hydratation et séchage libre), aucun endommagement ne se développe : on retrouve donc dans tous les cas, la solution élastique.

## Modélisation A et B : Élasticité isotrope

$$E = 30000 \text{ MPa}$$

$$\nu = 0.2$$

$$\kappa = 1.66 \cdot 10^{-5} (\text{l/m}^3)^{-1}$$

$$\beta_{endo} = 1.5 \cdot 10^{-5}$$

$$\alpha = 1.0 \cdot 10^{-5} \text{ } ^\circ \text{C}^{-1}$$

## Modélisation C : MAZARS

$$E = 10000 \text{ MPa pour } C = 100 \text{l/m}^3$$

$$30000 \text{ MPa pour } C = 80 \text{l/m}^3$$

$$\nu = 0.25 \text{ pour } h = 0$$

$$0.15 \text{ pour } h = 1$$

$$\kappa = 1.66 \cdot 10^{-5} (\text{l/m}^3)^{-1}$$

$$\beta_{endo} = 1.5 \cdot 10^{-5}$$

$$\alpha = 1.0 \cdot 10^{-5} \text{ } ^\circ \text{C}^{-1}$$

$$A_c = 1.4$$

$$A_t = 1.0 \text{ pour } C = 100 \text{l/m}^3$$

$$0.8 \text{ pour } C = 80 \text{l/m}^3$$

$$B_c = 2000$$

$$B_t = 10000 \text{ pour } h = 0$$

$$11000 \text{ pour } h = 1$$

$$\varepsilon_{d0} = 10^{-4}$$

$$k = 0.7$$

## Modélisation E : ENDO\_ISOT\_BETON

$$E = 30000 \text{ MPa}$$

$$\nu = 0.2$$

$$\kappa = 1.66 \cdot 10^{-5} (\text{l/m}^3)^{-1}$$

$$\beta_{endo} = 1.5 \cdot 10^{-5}$$

$$\alpha = 1.0 \cdot 10^{-5} \text{ } ^\circ \text{C}^{-1}$$

$$\sigma_y^t = 4.0 \text{ MPa}$$

$$\sigma_y^c = 53.4 \text{ MPa}$$

$$E_t = -1.0 \cdot 10^3 \text{ MPa}$$

## Modélisation F :

ENDO\_ISOT\_BETON/BETON\_UMLV\_FP

Voir modélisation E +

$$k_r^s = 10^{19} \text{ MPa}$$

$$k_i^s = 10^{19} \text{ MPa}$$

$$k_r^d = 10^{19} \text{ MPa}$$

$$\eta_r^s = 10^{19} \text{ MPa.j}$$

$$\eta_i^s = 10^{19} \text{ MPa.j}$$

$$\eta_r^d = 10^{19} \text{ MPa.j}$$

$$\eta_i^d = 10^{19} \text{ MPa.j}$$

## 1.3 Conditions aux limites et chargements

Sur le côté AB :  $u_z = 0$

On fait varier uniformément sur la structure :

- 1) la température de  $T = 20 \text{ } ^\circ \text{C}$  au temps initial jusqu'à  $T = 120 \text{ } ^\circ \text{C}$  au temps final
- 2) la teneur en eau de  $100 \text{l/m}^3$  au temps initial jusqu'à  $80 \text{l/m}^3$  au temps final
- 3) l'hydratation varie de 0. au temps initial à 1. au temps final.

## 2 Solution de référence

---

### 2.1 Méthode de calcul utilisée pour la solution de référence

Etant donnée la nature des sollicitations, la déformation totale est uniquement due au retrait et à la dilatation thermique. En conséquence, on a :

$$\boldsymbol{\varepsilon} = \boldsymbol{\varepsilon}^{th} + \boldsymbol{\varepsilon}^{rd} + \boldsymbol{\varepsilon}^{re} = \alpha(T - T_{ref})\mathbf{I}_d - \kappa(C_0 - C)\mathbf{I}_d - \beta h\mathbf{I}_d$$

avec :

- $T$ , la température au temps  $t$
- $T_{ref}$ , la température de référence
- $C_0$ , la teneur en eau initiale (taux d'humidité HR=100% ).
- $C$ , la teneur en eau au temps  $t$
- $h$ , le degré d'hydratation au temps  $t$
- $\alpha$ , le coefficient de dilatation
- $\kappa$ , le coefficient de retrait de dessiccation
- $\beta$ , le coefficient de retrait endogène

Les déformations élastiques étant nulles dans ce problème, les contraintes sont nulles, ainsi que l'endommagement dans le cas des modélisations avec la loi de MAZARS et ENDO\_ISOT\_BETON.

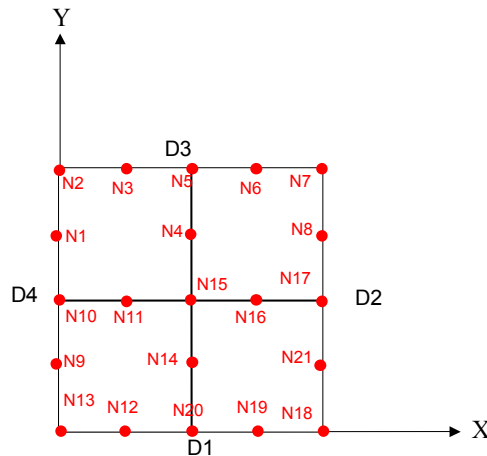
### 2.2 Résultats de référence

On vérifie la valeur de la déformation après 3600 jours, ainsi que la contrainte. On vérifie également que la déformation plastique est nulle, ainsi que l'endommagement pour les modélisations concernées. Les résultats sont testés avec STAT\_NON\_LINE ainsi qu'avec MECA\_STATIQUE (pour les modélisations  $A$  et  $B$ ).

## 3 Modélisation A

### 3.1 Caractéristiques de la modélisation

La modélisation est de type `AXIS`.



Le chargement et les conditions aux limites sont modélisés par :

```
FACE_IMPO = _F(GROUP_MA = D1, DY= 0.)
```

Les champs de température `TEMP1`, de séchage `SECH1` et d'hydratation `HYDR1` sont appliqués à tout le modèle.

### 3.2 Caractéristiques du maillage

Nombre de nœuds : 21  
Nombre de mailles et types : 4 QUAD8

### 3.3 Grandeurs testées et résultats

Pour le calcul avec `STAT_NON_LINE` (avec `COMPORTEMENT`), on teste les composantes du tenseur des déformations `EPSI_NOEU` après 3600 jours. On vérifie également que les contraintes `SIEF_NOEU` sont nulles ainsi que la déformation plastique (`EPSP_NOEU`).

Pour le calcul avec `MECA_STATIQUE`, on teste les composantes du tenseur des déformations `EPSI_NOEU` après 3600 jours. On vérifie également que les contraintes `SIGM_NOEU` sont nulles.

#### Calcul `STAT_NON_LINE`

Variables	Instant	Type de Référence	Référence	tolérance
$\epsilon_{xx}$	3600	ANALYTIQUE	$6.53 \cdot 10^{-4}$	0.50%
$\epsilon_{yy}$	3600	ANALYTIQUE	$6.53 \cdot 10^{-4}$	0.50%
$\epsilon_{xx}^p$	3600	ANALYTIQUE	0.	1,00E-006
$\epsilon_{yy}^p$	3600	ANALYTIQUE	0.	1,00E-006

$\sigma_{xx}$	3600	ANALYTIQUE	0.	1,00E-006
$\sigma_{yy}$	3600	ANALYTIQUE	0.	1,00E-006

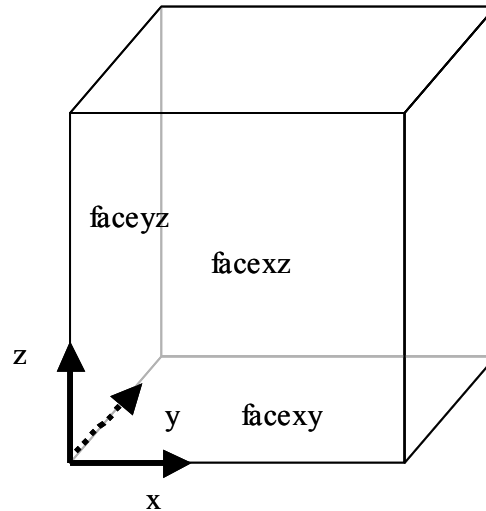
## Calcul MECA\_STATIQUE

Variables	Instant	Type de Référence	Référence	tolérance
$\varepsilon_{xx}$	3600	ANALYTIQUE	6.53 10 <sup>-4</sup>	0.50%
$\varepsilon_{yy}$	3600	ANALYTIQUE	6.53 10 <sup>-4</sup>	0.50%
$\sigma_{xx}$	3600	ANALYTIQUE	0.	1,00E-006
$\sigma_{yy}$	3600	ANALYTIQUE	0.	1,00E-006

## 4 Modélisation B

### 4.1 Caractéristiques de la modélisation

La modélisation est de type 3D.



Le chargement et les conditions aux limites sont modélisés par :

```
FACE_IMPO = (
    _F(GROUP_MA = 'FACEXY', DZ= 0.),
    _F(GROUP_MA = 'FACEXZ', DY= 0.),
    _F(GROUP_MA = 'FACEYZ', DX= 0.)
)
```

Les champs de température `TEMP1`, de séchage `SECH1` et d'hydratation `HYDR1` sont appliqués à tout le modèle.

### 4.2 Caractéristiques du maillage

Nombre de nœuds : 20  
Nombre de mailles et types 1 HEXA20  
:

### 4.3 Grandeurs testées et résultats

Pour le calcul avec `STAT_NON_LINE` (avec `COMPORTEMENT`), on teste les composantes du tenseur des déformations `EPSI_NOEU` après 3600 jours. On vérifie également que les contraintes `SIEF_NOEU` sont nulles ainsi que la déformation plastique (`EPSP_NOEU`).

Pour le calcul avec `MECA_STATIQUE`, on teste les composantes du tenseur des déformations `EPSI_NOEU` après 3600 jours. On vérifie également que les contraintes `SIGM_NOEU` sont nulles.

**Calcul STAT\_NON\_LINE**

Variables	Instant	Type de Référence	Référence	tolérance
$\varepsilon_{xx}$	3600	ANALYTIQUE	$6.53 \cdot 10^{-4}$	0.50%
$\varepsilon_{yy}$	3600	ANALYTIQUE	$6.53 \cdot 10^{-4}$	0.50%
$\varepsilon_{xx}^p$	3600	ANALYTIQUE	0.	1,00E-006
$\varepsilon_{yy}^p$	3600	ANALYTIQUE	0.	1,00E-006
$\sigma_{xx}$	3600	ANALYTIQUE	0.	1,00E-006
$\sigma_{yy}$	3600	ANALYTIQUE	0.	1,00E-006

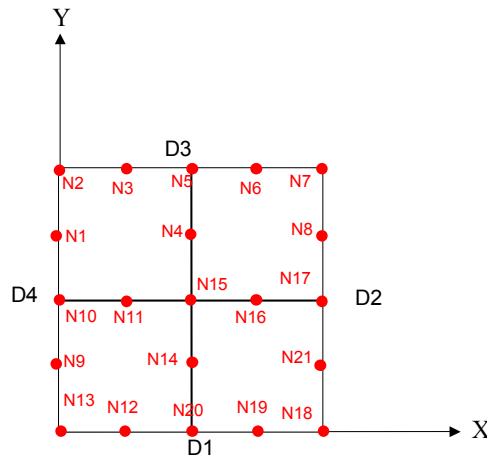
**Calcul MECA\_STATIQUE**

Variables	Instant	Type de Référence	Référence	tolérance
$\varepsilon_{xx}$	3600	ANALYTIQUE	$6.53 \cdot 10^{-4}$	0.50%
$\varepsilon_{yy}$	3600	ANALYTIQUE	$6.53 \cdot 10^{-4}$	0.50%
$\sigma_{xx}$	3600	ANALYTIQUE	0.	1,00E-006
$\sigma_{yy}$	3600	ANALYTIQUE	0.	1,00E-006

## 5 Modélisation C

### 5.1 Caractéristiques de la modélisation

La modélisation est de type `AXIS`.



Le chargement et les conditions aux limites sont modélisés par :

```
FACE_IMP O = _F(GROUP_MA = D1, DY= 0.)
```

Les champs de température `TEMP1`, de séchage `SECH1` et d'hydratation `HYDR1` sont appliqués à tout le modèle.

### 5.2 Caractéristiques du maillage

Nombre de nœuds : 21  
Nombre de mailles et types : 4 QUAD8

### 5.3 Grandeurs testées et résultats

Pour le calcul avec `STAT_NON_LINE`, on teste les composantes du tenseur des déformations `EPSI_NOEU` après 3600 jours. On vérifie également que les contraintes `SIEF_NOEU` sont nulles ainsi que la déformation plastique (`EPSP_NOEU`) et la variable d'endommagement (`VARI_NOEU, V1`).

Variables	Instant	Type de Référence	Référence	Tolérance
$\epsilon_{xx}$	3600	ANALYTIQUE	$6.53 \cdot 10^{-4}$	0.50%
$\epsilon_{yy}$	3600	ANALYTIQUE	$6.53 \cdot 10^{-4}$	0.50%
$\epsilon_{xx}^p$	3600	ANALYTIQUE	0.	1,00E-006
$\epsilon_{yy}^p$	3600	ANALYTIQUE	0.	1,00E-006
$\sigma_{xx}$	3600	ANALYTIQUE	0.	1,00E-006
$\sigma_{yy}$	3600	ANALYTIQUE	0.	1,00E-006

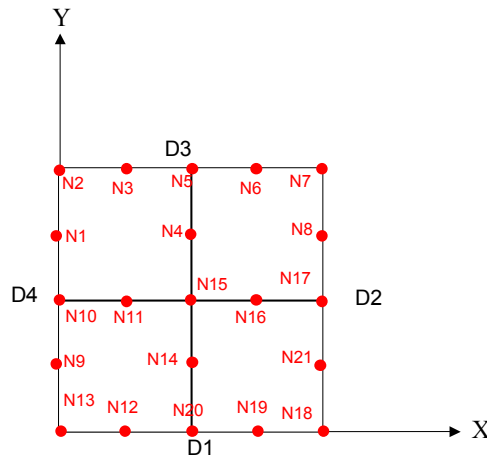
---

<i>D</i>	3600	ANALYTIQUE	0.	1,00E-006
----------	------	------------	----	-----------

## 6 Modélisation E

### 6.1 Caractéristiques de la modélisation

La modélisation est de type `AXIS`.



Le chargement et les conditions aux limites sont modélisés par :

```
FACE_IMPO = _F(GROUP_MA = D1, DY= 0.)
```

Les champs de température `TEMP1`, de séchage `SECH1` et d'hydratation `HYDR1` sont appliqués à tout le modèle.

On utilise la méthode de résolution de `NEWTON` et `IMPLEX` avec 2 pas de charge.

### 6.2 Caractéristiques du maillage

Nombre de nœuds : 21  
Nombre de mailles et types : 4 QUAD8

### 6.3 Grandeurs testées et résultats

Pour le calcul avec `STAT_NON_LINE`, on teste les composantes du tenseur des déformations `EPSI_NOEU` après 3600 jours. On vérifie également que les contraintes `SIEF_NOEU` sont nulles ainsi que la déformation plastique (`EPSP_NOEU`) et la variable d'endommagement (`VARI_NOEU, V1`).

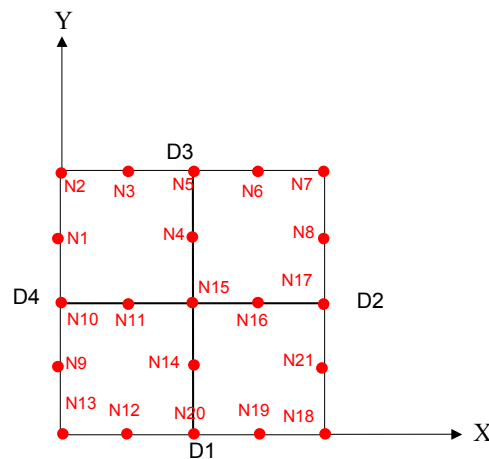
Variables	Instant	Type de Référence	Référence	Tolérance
$\varepsilon_{xx}$	3600	ANALYTIQUE	$6.53 \cdot 10^{-4}$	0.50%
$\varepsilon_{yy}$	3600	ANALYTIQUE	$6.53 \cdot 10^{-4}$	0.50%
$\varepsilon_{xx}^p$	3600	ANALYTIQUE	0.	1,00E-006
$\varepsilon_{yy}^p$	3600	ANALYTIQUE	0.	1,00E-006
$\sigma_{xx}$	3600	ANALYTIQUE	0.	1,00E-006

$\sigma_{yy}$	3600	ANALYTIQUE	0.	1,00E-006
$D$	3600	ANALYTIQUE	0.	1,00E-006

## 7 Modélisation F

### 7.1 Caractéristiques de la modélisation

La modélisation est de type `AXIS`.



Le chargement et les conditions aux limites sont modélisés par :

```
FACE_IMPO = _F(GROUP_MA = D1, DY= 0.)
```

Les champs de température `TEMP1`, de séchage `SECH1` et d'hydratation `HYDR1` sont appliqués à tout le modèle.

### 7.2 Caractéristiques du maillage

Nombre de nœuds : 21  
Nombre de mailles et types 4 QUAD8  
:

### 7.3 Grandeurs testées et résultats

Pour le calcul avec `STAT_NON_LINE`, on teste les composantes du tenseur des déformations `EPSI_NOEU` après 3600 jours. On vérifie également que les contraintes `SIEF_NOEU` sont nulles ainsi que la déformation plastique (`EPSP_NOEU`) et la variable d'endommagement (`VARI_NOEU`, `V1`).

Variables	Instant	Type de Référence	Référence	Tolérance
$\varepsilon_{xx}$	3600	ANALYTIQUE	$6.53 \cdot 10^{-4}$	0.50%
$\varepsilon_{yy}$	3600	ANALYTIQUE	$6.53 \cdot 10^{-4}$	0.50%
$\varepsilon_{xx}^p$	3600	ANALYTIQUE	0.	1,00E-006
$\varepsilon_{yy}^p$	3600	ANALYTIQUE	0.	1,00E-006

---

$\sigma_{xx}$	3600	ANALYTIQUE	0.	1,00E-006
$\sigma_{yy}$	3600	ANALYTIQUE	0.	1,00E-006
$D$	3600	ANALYTIQUE	0.	1,00E-006

---

## 8 Synthèse des résultats

---

Les résultats obtenus avec le *Code\_Aster* sont identiques à la solution analytique. On a ainsi validé le calcul de la dilatation thermique et des retraits endogène et de dessiccation pour le modèle élastique, que ce soit avec *STAT\_NON\_LINE* ou *MECA\_STATIQUE*, ainsi que pour la loi de Mazars, pour la loi *ENDO\_ISOT\_BETON* et pour le cas du couplage *BETON\_UMLV\_FP/ENDO\_ISOT\_BETON*. Signalons que les modélisations *A* et *B* permettent également de valider le calcul des retraits pour les lois *VMIS\_ISOT\_TRAC* et *VMIS\_ISOT\_LINE* qui utilise la même routine que *ELAS*.